

## بررسی رابطه دانه‌بندی رسوبات تپه‌های ماسه‌ای حسن‌آباد بافق با جهت باد فرساینده با استفاده از زمین آمار

محمدجواد قانعی بافقی<sup>۱\*</sup> و علیرضا یاراحمدی<sup>۲</sup>

<sup>۱</sup> عضو هیأت علمی دانشگاه آزاد اسلامی، واحد بافق، ایران

<sup>۲</sup> عضو هیأت علمی دانشگاه یزد، ایران

(تاریخ دریافت: ۱۹/۱۲/۸۸، تاریخ تصویب: ۲۹/۶/۸۹)

### چکیده

هدف اصلی این مقاله ارائه شاخصی علاوه بر شاخص‌های موجود برای تعیین جهت باد فرساینده در منطقه ارگ حسن‌آباد بافق است. بدین منظور با کمک آمار ایستگاه سینوپتیک بافق، گلبداهی‌های ماهانه و فصلی و سالانه رسم گردید، مورفولوژی تپه‌های ماسه‌ای بر اساس تصاویر ماهواره‌ای منطقه و بازدید صحراوی بررسی و بادهای غالب تعیین گردید. جهت بادهای رسوب زا نیز از پرسشنامه‌های منطقه‌ای استخراج گردید. نمونه رسوب از شبکه منظم  $500 \times 500$  متری بر تصویر ماهواره‌ای ارگ تهیه و ضمن دانه‌بندی با الک‌های آزمایشگاهی، نمودارهای تجمعی و پراکنش قطرمیانگین آنها بر حسب فی و میکرون رسم و فاکتور میانگین قطر محاسبه گردید. جهت تعیین شاخصی با عنوان وابستگی فضایی (خود همبستگی مکانی) پارامتر قطر دانه‌بندی ماسه‌های ارگ از علم زمین آمار و مفهوم واریوگرام به عنوان ابزاری جهت تعیین تداوم دانه‌بندی، شعاع تاثیر (شعاع وابستگی فضایی دانه‌بندی) و ناهمسانگری در وابستگی فضایی استفاده گردید. در این مطالعه واریوگرام خوش‌منظر برآشش شده و کنترل شده دانه‌بندی ارگ علاوه بر اثبات صدق فرضیه پایابی درجه دو در منطقه، ثابت می‌نماید که جهت‌داری با بیشترین وابستگی فضایی مربوط به آزمیوت صفر درجه (جهت جنوب - شمال) می‌باشد. تحلیل آنیزتروپی هندسی نیز بیشترین شعاع تاثیر را به این جهت‌داری و کمترین را به جهت عمود بر آن یعنی جهت شرقی غربی منطقه تعلق می‌دهد. که عملاً با جهت باد فرساینده ارگ همخوانی و تطابق دارد. از دیگر مزایای روش زمین آمار تخمین با تعیین خطای تخمین است در این خصوص تخمین دانه‌بندی برای بلوک‌هایی با ابعاد  $50 \times 50$  متر بر اساس روش کریجینگ عادی با دقیقی قابل قبول صورت گرفت.

**واژه‌های کلیدی:** ارگ حسن‌آباد، زمین آمار، فرسایش بادی، جهت باد فرساینده، گرانولومتری

مختلف انجام شد و در آن از روش‌های آمار کلاسیک برای بیان تفاوت بین بسترها و از زمین آمار برای بیان تغییرات داخل هر بستر استفاده گردید و خصوصیات مورد مطالعه شامل توزیع اندازه ذرات خاک، مقدار کربنات کلسیم و کربن آلی خاک بود نتایج نشان داد که تغییرپذیری خصوصیات خاک از بسترها جوان تا قدیمی کاهش داشته است و این نمایانگر افزایش همگنی خاک با گذشت زمان می‌باشد (Saldana. et.al. 1998).

تحقیق حاضر نیز زمین آمار را به کمک می‌گیرد تا وجود وابستگی فضایی قطر میانگین رسوبات، جهتداری و ناهمسانگردی این وابستگی، و امکان تخمین دانه‌بندی را در یک مجموعه تپه ماسه‌ای بوجود آورده. در زمین آمار وابستگی یک متغیر با خودش نسبت به زمان و مکان مورد مطالعه قرار می‌گیرد و اساس آن بر متغیرهای ناحیه‌ای که متغیرهای وابسته به مکان و زمان هستند بنا شده است. روش‌های زمین آماری زمانی مورد استفاده قرار می‌گیرند که اطلاعات برداشتی زیاد و در حد امکان منظم بوده و فرضیه پایایی وابستگی فضایی در منطقه مورد مطالعه صدق نماید. این تحقیق بر فرضیه وجود وابستگی فضایی بین قطر میانگین ذرات رسوب و انطباق جهتداری بیشترین وابستگی فضایی با جهت باد فرسایشی استوار شده است.

#### منطقه مورد مطالعه

منطقه مورد مطالعه ارگ حسن‌آباد بافق واقع در ۱۸ کیلومتری شمال غرب این شهرستان بوده و در عرض جغرافیایی "۲۰°۴۰' تا "۵۸°۳۱' و طول جغرافیایی "۳۱°۴۳' تا "۵۵°۲۰' درجه شمالي و طول درجه طول شرقی واقع شده است (شکل ۱).

## مواد و روش‌ها

### مواد

در این تحقیق به منظور بررسی خصوصیات و اشکال مختلف تپه‌های ماسه‌ای از نقشه‌های توپوگرافی با مقیاس ۱:۵۰۰۰۰ و تصاویر ماهواره‌ای منطقه استفاده شد و در دانه‌بندی رسوبات از الکهای ۲ میلیمتر، ۱ میلیمتر، ۰/۵

### مقدمه

بیش از دو سوم مساحت ایران را اراضی خشک و نیمه خشک فرا گرفته است. در این اراضی کمبود پوشش گیاهی و بدون حفاظ ماندن زمین عاملی در جهت افزایش حساسیت خاک و گسترش فرسایش بادی است.

در کنترل فرسایش بادی یکی از عوامل مهم تشخیص جهت بادهای غالب منطقه است. از جمله روش‌های تشخیص جهت باد و مسیر حرکت و منشأ رسوبات در مناطق مختلف میتوان بررسی گلبهای منطقه و اشکال Ekhtesasi, M. R, et al. (1996)، تبیین جهت باد از روی اشکال تپه‌های ماسه‌ای (Ahmadi et al., 2001, 2002) بررسی ارتباط ژنتیکی motamed. (1988, 1991, 1996) و بالاخره تهیه پرسشنامه از ساکنین منطقه (Ekhtesasi. 1996) را نام برد.

در منطقه ابراهیم آباد مهریز که از روش کریجینگ به منظور تخمین درصد سنگفرش بیابانی و سرعت آستانه فرسایش بادی استفاده شد، نتایج نشان داد استفاده از زمین‌آمار و روش کریجینگ معمولی، شیوه مناسب و دقیقی جهت تهیه نقشه پارامترهای مؤثر در فرسایش بادی از جمله توزیع پوشش و خطوط هم سرعت آستانه می‌باشد (Azimzadeh, et al. 2005)

در بررسی تغییرات مکانی خصوصیات خاک روش‌های زمین‌آماری دارای مزایای بیشتری نسبت به روش‌های معین در تهیه نقشه خاک است ( Mohammad Asgari, H. 2007

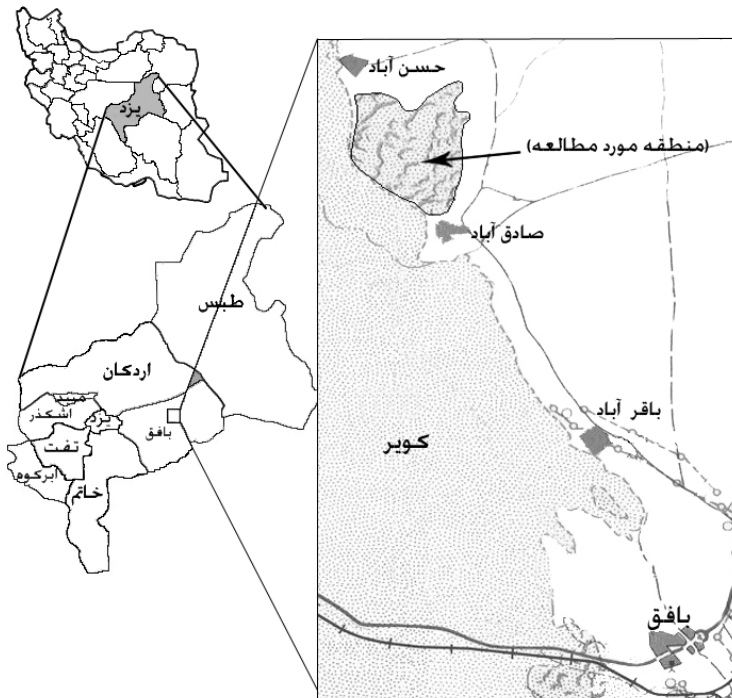
در تحلیل خصوصیات خاک با کمک روش‌های رئواستاتیستیکی شامل کریجینگ و کوکریجینگ در بررسی خصوصیاتی نظری فسفر، کلسیم، منیزیم و آهن قابل استخراج، درصد شن، سیلت و رس خاک، توزیع مکانی خصوصیات خاک که با روش کریجینگ تخمین زده شده با توزیع واقعی داده‌ها، همبستگی بالایی دارند. (Chien, et al. 1997)

در تحقیقی که در بستر رودخانه هنارس<sup>۱</sup> در سه زمان

<sup>۱</sup>-Henares

افزار WRPLOT و در مطالعات زمین آماری، منوی زمین آمار نرم افزار SURPAC بکار گرفته شد.

میلیمتر، ۲۵۰ میکرون، ۱۲۵ میکرون و ۶۳ میکرون در آنالیز سرندی استفاده گردید. در تهیه گلbadهای منطقه نرم



شکل ۱- نمای کلی از موقعیت منطقه مورد مطالعه در شمال غرب شهرستان بافق

فرضی (بادهای فرساینده وجهت عمود بر آن) بر روی تصویر ماهواره‌ای این تپه‌ها قرار گرفت و نمونه‌برداری در گرههای شبکه انجام گردید (شکل ۲). آنالیز سرندی بر روی نمونه‌های ۵۰ گرمی انجام و با کمک داده‌های آنالیز سرندی میانگین قطر رسوبات از طریق فرمول زیر محاسبه گردید.

$$M = \frac{\phi_{16} + \phi_{50} + \phi_{84}}{3} \quad (1) \text{ (فولک ۱۹۷۴)}$$

بطوریکه  $M$  عبارتند از میانگین قطر رسوبات و  $\phi_{16}$ ،  $\phi_{50}$  و  $\phi_{84}$  به ترتیب قطرهایی است که ۱۶، ۵۰ و ۸۴ درصد وزنی ذرات دارای قطری کمتر از آن باشند.

## روش‌ها

در این تحقیق از رسوبات تپه‌های ماسه‌ای ۴۰ نمونه تهیه گردید و در آزمایشگاه الک شد و با رسم نمودارهای تجمعی قطر ذرات رسوب، قطر میانگین ذرات محاسبه شده و با کمک روش‌های زمین آماری وابستگی قطر میانگین ذرات و جهت این وابستگی بررسی گردید. به منظور بررسی جهت بادهای فرساینده و غالب در منطقه از گلbadهای فصلی و سالیانه و همچنین بررسی اشکال مختلف تپه‌های ماسه‌ای روی تصاویر ماهواره‌ای و تهیه پرسشنامه از ساکنین منطقه استفاده شد.

## روش نمونه‌برداری

به منظور نمونه‌برداری از تپه‌های ماسه‌ای حسن‌آباد و جهت جلوگیری از ایجاد انحراف در نمونه‌برداری و خطاهای سیستماتیک در تخمین‌های زمین آماری شبکه منظمی در راستای جهات دارای بیشترین و کمترین ارتباط فضایی

### بررسی مرغولوژی تپه‌های ماسه‌ای

مطالعه مرغولوژی تپه‌های ماسه‌ای با کمک تصاویر ماهواره‌ای و بازدید صحراوی می‌تواند علاوه بر مشخص کردن نوع و میزان فعالیت تپه‌های ماسه‌ای، جهت بادهای فرساینده و حمل رسوب را نیز مشخص کند، چرا که مرغولوژی تپه‌های ماسه‌ای تابع جهت باد و نحوه رسوبگذاری توسط آن می‌باشد. از این رو شکل خاص هر نوع تپه و موقعیت آن در ارگ می‌تواند دریافت نجت و وزش بادهای حامل رسوب و شکل دهنده تپه‌ها به ما کمک کند. به این منظور نوع تپه‌ها و جهت باد غالب در ارگ حسن‌آباد مورد مطالعه قرار گرفت.

### نتایج

#### رسم گلبداهای منطقه

در این بخش گلبداهای ماهانه، فصلی و سالانه ایستگاه سینوپتیک بافق رسم گردید که در شکل‌های ۳ و ۴ گلبداهای فصلی و سالانه این ایستگاه آورده شده است.

#### تهیه پرسشنامه

از پرسشنامه‌های تکمیل شده از محدوده اطراف تپه‌های ماسه‌ای نتایج ذیل حاصل شد.

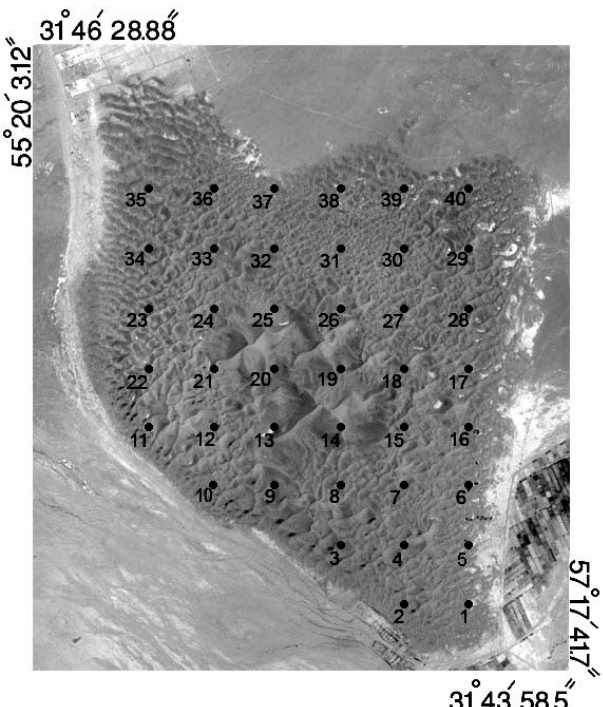
- بادهای غالب در منطقه شمال غرب و جنوب شرق و شمالی و جنوبی است که بادهای اصلی محسوب شده و به بادهای بالا و پایین مشهورند.

- در بین بادها، باد پایین (قطاع شمالی) از شدت بیشتری برخوردار است.

- در بین بادها باد پایین (قطاع شمالی) بیشترین رسوب را با خود به منطقه حمل می‌کند.

### تهیه گلبداهای منطقه

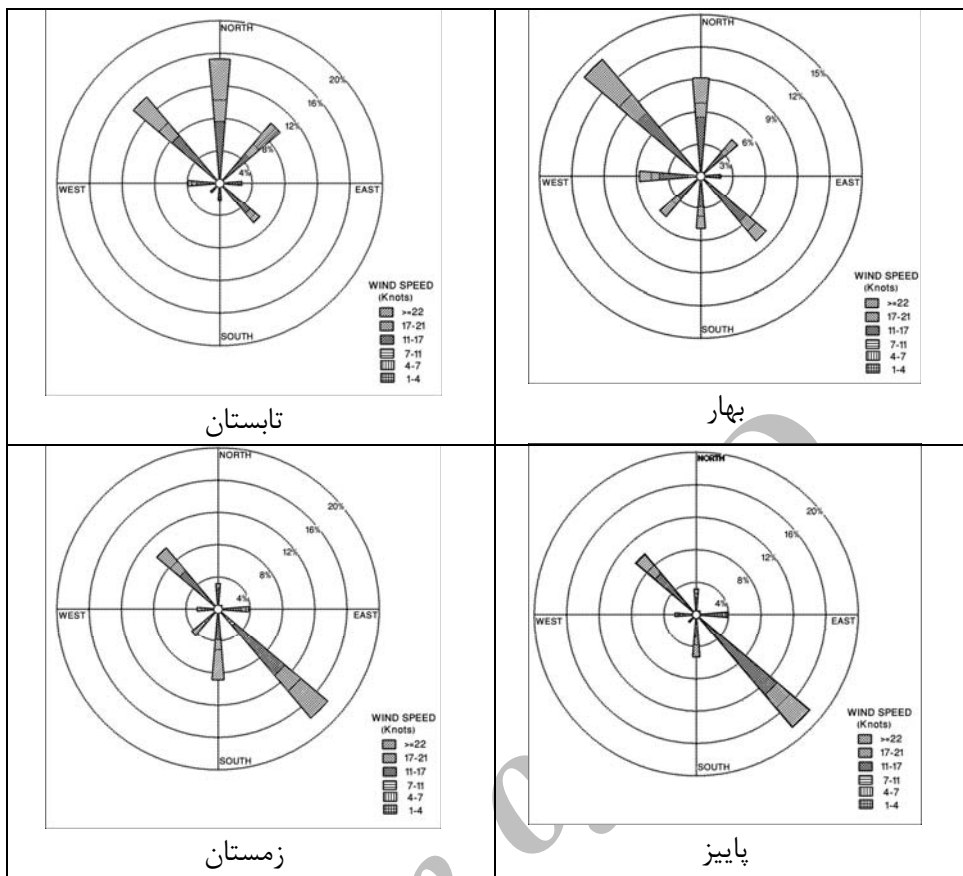
در تهیه گلبداد از آمار روزانه ثبت شده در ایستگاه سینوپتیک بافق استفاده شد که در فاصله ۱۸ کیلومتری محل تپه‌های ماسه‌ای واقع شده است. در این مطالعه آمار مربوط به سالهای ۱۹۹۶ تا ۲۰۰۵ برای رسم گلبداهای فصلی و سالانه منطقه استفاده گردید.



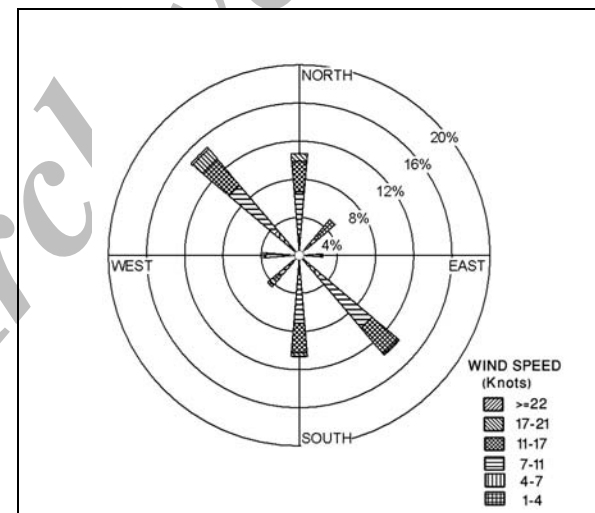
شکل ۲- شبکه نمونه‌برداری از منطقه مورد مطالعه

#### تهیه پرسشنامه از ساکنین منطقه

نظر به اینکه ساکنین محدوده منطقه مورد مطالعه طی سالها زندگی در منطقه آشنازی کاملی با جهت وزش بادهای غالب و بادهای فرساینده دارند و می‌توان از این اطلاعات به عنوان منبعی موثق از جهت بادهای حامل رسوب استفاده کرد طی مراجعه به روستاهای صادق آباد و حسن‌آباد و اراضی کشاورزی اطراف ارگ از اهالی در زمینه جهت بادهای عمومی منطقه و همچنین جهت و شدت بادهای حامل رسوب و زمان وقوع آنها در طی سال سؤال شد و اطلاعات مربوطه جمع آوری گردید.



شکل ۳- گلبداه‌های فصلی ایستگاه بافق



شکل ۴- گلبداد سالانه ایستگاه بافق

بررسی‌های صحراوی نواقص برطرف شد. اشکال مختلف تپه‌های ماسه‌ای در ارگ به شرح زیر می‌باشد.

#### مطالعه مرغولوزی تپه‌های ماسه‌ای

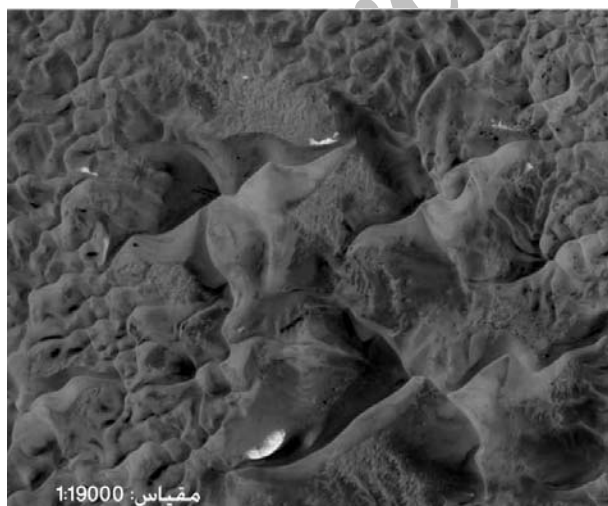
به منظور بررسی مرغولوزی تپه‌های ماسه‌ای ابتدا با استفاده از تصاویر ماهواره‌ای منطقه شکل عمومی تپه‌ها مورد بررسی قرار گرفت و انواع آنها مشخص شد و سپس با

نداشته بلکه تنها حفره‌هایی بسته در بین آنها وجود دارد که به آنها آکله گفته می‌شود (Ahmadi, 2006). این تپه‌ها بیشترین مساحت ارگ را به خود اختصاص می‌دهد. در این منطقه باد شمال غربی و جنوب شرقی باعث تشکیل این نوع تپه‌ها می‌شود که در بسیاری از نقاط ارگ رشته‌های تپه‌های رفت و برگشتی به یکدیگر فشره شده است. وجود بادهای چند جهتی در این منطقه که هریک قابلیت خاصی در جهت دادن به تپه‌ها دارند باعث شده که شکل منظم تپه‌های عرضی به هم بخورد. (شکل ۵)

### تپه‌های ستاره‌ای

وجود باد غالب در سه جهت باعث تشکیل تپه‌های ستاره‌ای شده که دارای ارتفاع بلندی می‌باشد. این تپه‌ها در اثر بادهای شمال غربی - جنوب شرقی و بادهای شرقی تشکیل می‌شوند و بیشتر در مرکز ارگ واقعند و دارای یالهای متعدد می‌باشد (شکل ۶).

علاوه بر تپه‌های مذکور که دارای شکل مشخصی می‌باشند در حاشیه شمال و شمال غرب ارگ ریزش رسوبات بادی تپه‌های گنبدی شکلی تشکیل شده است که رسوبات آنها در بخش‌های شمالی نسبت به دیگر جاهای ارگ درشت‌دانه تر است. این تپه‌ها از نظر شکل پهن‌تر و نامنظم است.



شکل ۶ - تپه ستاره‌ای بزرگ در مرکز ارگ



مقیاس: 1:13500

شکل ۵- تپه‌های عرضی در شمال غرب ارگ

### سیف

تمام انواع تپه‌های ماسه‌ای فعال از سیف بوجود می‌آیند به عبارت دیگر سیف به عنوان واحد اصلی تشکیل تپه‌های ماسه‌ای است (Ahmadi, 2006). سیفها عمدتاً در بخش شمال و شمال غربی ارگ مشاهده می‌شوند.

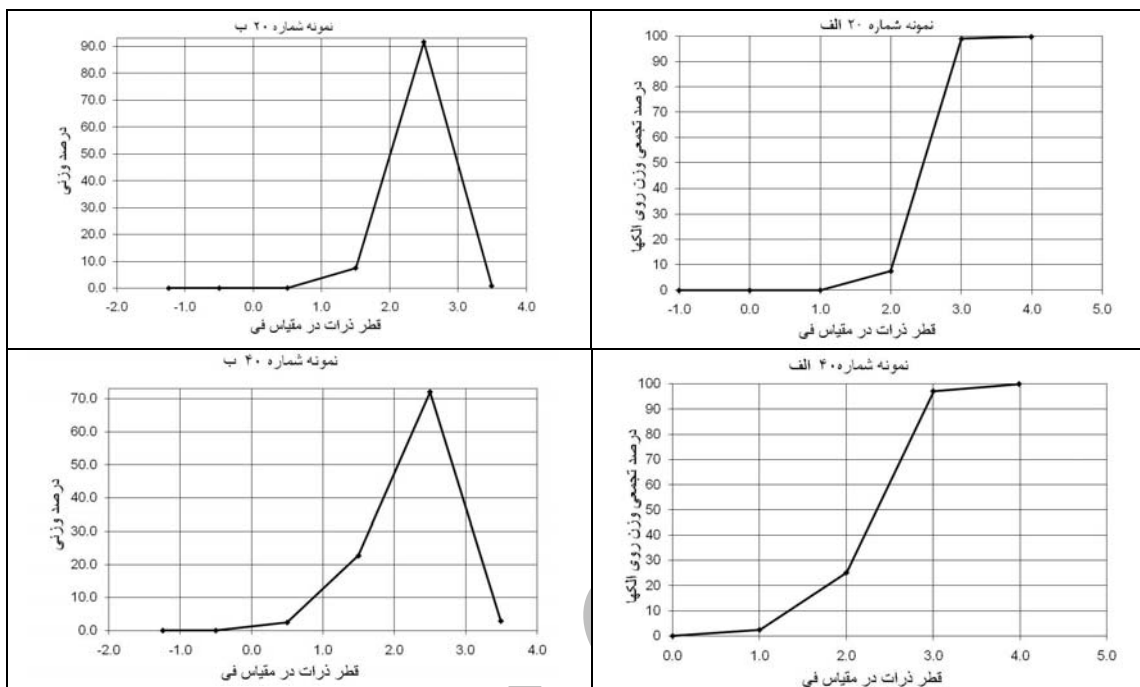
### تپه‌های تپه‌های بارخان عرضی (رفت و برگشتی)

از مشخصات اصلی این تپه‌ها جهت باد غالب است که عمود بر محور تپه‌هاست، در صورتی که یک یا چند بارخان در کنار یکدیگر تشکیل شود، بارخان عرضی ایجاد می‌شود. در تشکیل آن دو باد اصلی و فرعی دارای زاویه ۱۸۰ درجه با یکدیگر (مخالف یکدیگر) نقش دارند. در اینحالت بازوهای بارخان‌ها به یکدیگر متصل شده و به صورت رشته‌های مورب و عمود بر جهت باد اصلی ایجاد می‌شوند. در موقعی که قدرت باد اصلی و فرعی با هم برابر باشد، در طور متقابل باشند ردیفهای ایجاد شده توسط بارخان‌های عرضی به یکدیگر پیوسته و به حالت درهم تنیده در می‌آیند. در این حالت بین ردیفهای فاصله‌ای وجود

رسم گردید که برای نمونه چهار عدد از نمودارهای رسم شده در مقیاس فی در شکل ۷ ارائه شده است.

### گرانولومتری رسوبات

با کمک داده‌های حاصل از آنالیز سرندی نمودارهای پراکنش و تجمعی دانه‌های رسوب در مقیاس فی و میکرون



شکل ۷- نمودارهای تجمعی (الف) و پراکنش (ب) رسوبات در نمونه‌های شماره ۲۰ و ۴۰

ناهمسانگردی در وابستگی فضایی دو بعدی دانه‌بندی در ارگ می‌باشد. به منظور محاسبه واریوگرامهای تجربی دانه‌بندی در منطقه مورد مطالعه و یافتن واریوگرام نماینده توزیع دانه‌بندی ارگ (که واریوگرامی خوش منظر و قابل برآشش باشد)، از طرفی تعیین ناهمسانگردی ارتباط فضایی دانه‌بندی ارگ، از جهت شمال (ازیموت صفر درجه) به ازای هر ۱۰ درجه یک واریوگرام رسم گردید که در شکل ۹ چند نمونه از آن مشاهده می‌شود.

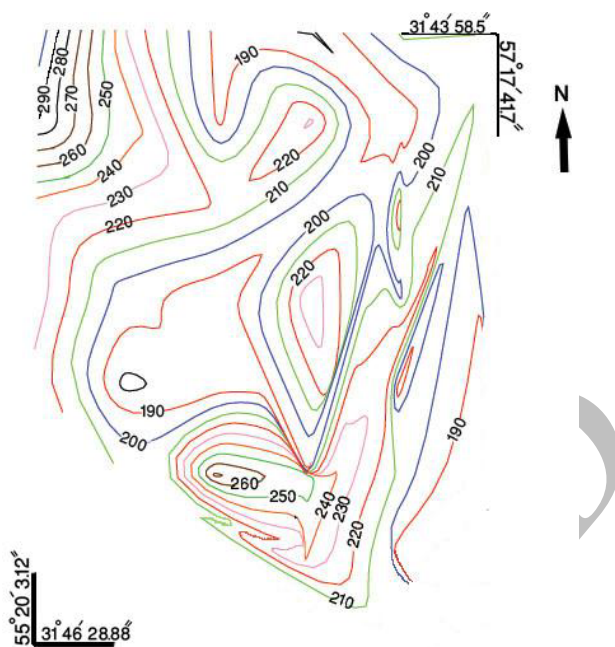
در جدول ۱ نتایج حاصل از محاسبه میانگین قطر نمونه‌ها ارائه شده است و با کمک میانگین قطر محاسبه شده از نمونه‌های مختلف نقشه همتراز میانگین قطر رسم شد که در شکل ۸ ارائه گردیده است.

### روش زمین آمار

در مطالعات زمین آماری مراحل محاسبه و تخمین بعد از نمونه‌برداری و منظم سازی نمونه‌ها عبارتند از واریوگرافی شامل محاسبه و برآشش، اعتبار سنجی واریوگرام، تخمین و گزارش گیری است که در ادامه به تشریح این مطالعات بر روی دانه‌بندی ارگ خواهیم پرداخت.

### واریوگرافی دو بعدی دانه‌بندی

در این تحقیق واریوگرام ابزاری جهت تعیین تداوم دانه‌بندی، شعاع تأثیر(شعاع وابستگی فضایی دانه‌بندی) و



شکل ۸- نقشه همتراز قطر میانگین رسوبات (بر حسب میکرون) در ارگ

جدول ۱- قطر میانگین نمونه‌های مختلف

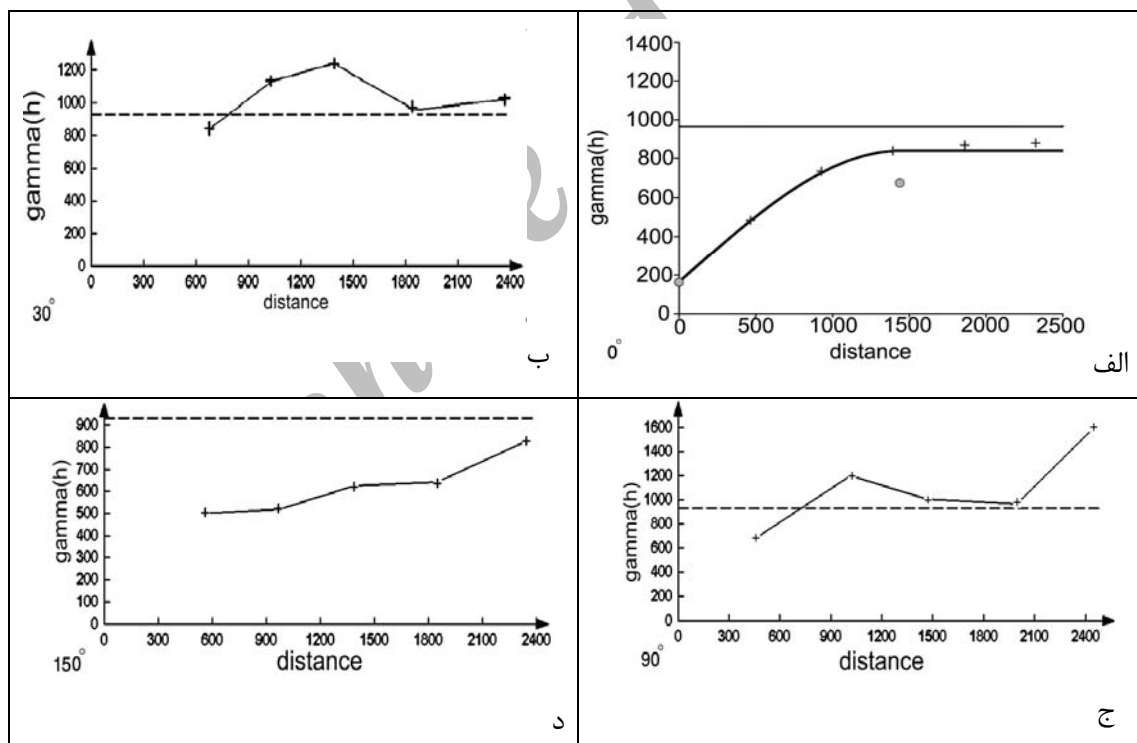
| شماره نمونه | قطر میانگین ( $\mu$ ) | شماره نمونه | قطر میانگین ( $\mu$ ) |
|-------------|-----------------------|-------------|-----------------------|
| ۲۱          | ۱۹۳/۷                 | ۱           | ۲۰۰/۶                 |
| ۲۲          | ۲۳۶/۹                 | ۲           | ۱۹۴/۳                 |
| ۲۳          | ۲۳۵/۳                 | ۳           | ۲۲۹/۹                 |
| ۲۴          | ۲۲۵/۷                 | ۴           | ۱۷۹/۶                 |
| ۲۵          | ۲۱۹/۳                 | ۵           | ۱۸۵/۲                 |
| ۲۶          | ۱۹۴/۲                 | ۶           | ۱۷۸/۰                 |
| ۲۷          | ۲۲۹/۶                 | ۷           | ۲۰۸/۷                 |
| ۲۸          | ۲۰۹/۳                 | ۸           | ۲۵۶/۴                 |
| ۲۹          | ۲۱۲/۵                 | ۹           | ۲۷۱/۷                 |
| ۳۰          | ۱۸۳/۴                 | ۱۰          | ۲۰۸/۰                 |
| ۳۱          | ۲۳۱/۳                 | ۱۱          | ۲۲۵/۶                 |
| ۳۲          | ۱۸۷/۲                 | ۱۲          | ۱۷۶/۸                 |
| ۳۳          | ۲۴۵/۱                 | ۱۳          | ۱۸۵/۹                 |
| ۳۴          | ۲۹۱/۰                 | ۱۴          | ۲۱۳/۹                 |
| ۳۵          | ۳۰۶/۷                 | ۱۵          | ۱۸۵/۰                 |

ادامه جدول ۱- قطر میانگین نمونه‌های مختلف

|       |    |
|-------|----|
| ۲۲۶/۵ | ۳۶ |
| ۱۸۵/۰ | ۳۷ |
| ۱۷۹/۰ | ۳۸ |
| ۲۱۱/۸ | ۳۹ |
| ۲۰۹/۵ | ۴۰ |
| ۱۸۱/۵ | ۱۶ |
| ۲۱۹/۱ | ۱۷ |
| ۱۹۷/۶ | ۱۸ |
| ۲۳۸/۲ | ۱۹ |
| ۱۸۱/۲ | ۲۰ |

در یک چنین شرایطی فرضیه پایابی صادق بوده و زمین Hasani-e-pak، A. A. 2001 آمار قابل استفاده است. چنانکه مشاهده می‌گردد واریوگرام تئوری (مدل) منطبق شده با آن از نوع کروی است. پارامترهای واریوگرام مذکور در جدول ۲ آمده است.

واریوگرام تجربی در جهت ۱۸۰ درجه عیناً مثل واریوگرام رسم شده در جهت صفر درجه است و نشان دهنده همسانگردی در این راستا می‌باشد. در بین واریوگرام‌های تجربی رسم شده فوق تنها واریوگرام جهت صفر درجه پیوستگی فضایی خوش منظری را نشان می‌دهد و معمولاً



شکل ۹- نمونه‌هایی از واریوگرام‌های تجربی و مدل رسم شده بر روی واریوگرام آزمیزی صفر درجه

جدول ۲- پارامترهای مدل برآورده شده بر واریوگرام شکل ۹-الف

| نوع مدل | حد آستانه (سقف) ( $\mu^2$ ) | اثر قطعه‌ای ( $\mu^2$ ) | شعاع تأثیر (متر) |
|---------|-----------------------------|-------------------------|------------------|
| کروی    | ۶۹۳/۴۲۳۰.۹۶                 | ۱۵۴/۲۱۹                 | ۱۴۳۴/۵۶۴         |

ناحیه‌ای مورد نظر (قطرمیانگین) می‌توان گفت خطای تخمین تقریباً به سمت صفر میل کرده است.

- نسبت اختلاف واریانس خطاهای با متوسط واریانس تخمین باید کمتر از ۱۰ درصد باشد. ولذا طبق محاسبه زیر این اختلاف در خصوص مدل واریوگرام  $8/9$  درصد است و قابل قبول.

$$\frac{512.6753 - 558.5749}{512.6753} * 100 = -8.9$$

- ۹۵ درصد از خطاهای بین بعلاوه و منهای دو برابر انحراف معیار خطاهای قرار گرفته باشد به‌این معنا که تابع توزیع خطاهای نرمال باشد. این مهم نیز در جدول ۳ دقیقاً  $95\%$  است و صدق شرط سوم را می‌رساند.

بر اساس نکات کنترلی فوق همچنین قرار گرفتن مدل واریوگرام زیر واریانس نمونه‌ها در شکل ۹-الف (واریوگرام آزمیوت صفر درجه) می‌توان نتیجه گرفت که واریوگرام پیشنهادی نمایندگی وابستگی فضایی متغیر قطر میانگین (دانه‌بندی) در منطقه مورد مطالعه را دارد.

#### ناهمسانگری در وابستگی فضایی دانه‌بندی رسوبات

از دیگر ویژگیهایی که معمولاً در زمین‌آمار مورد توجه بوده و می‌توان از رسم واریوگرام‌ها در جهات مختلف بدست آوردن ناهمسانگردی است. این ویژگی بصورت هندسی (در شعاع تأثیر) و یا ناحیه‌ای (در حد آستانه) و یا بصورت ترکیبی، ظاهر می‌شود و با رسم و انطباق مدل‌های تئوری مختلف قابل تشخیص می‌باشد و معمولاً در حالت دو بعدی بصورت بیضی و در حالت سه بعدی به صورت بیضی گون بوده و با نسبتی از قطرها قابل رسم و عددی کردن است.

در خصوص منطقه مورد مطالعه به نظر می‌رسد ناهمسانگردی از نوع هندسی است زیرا حد آستانه تغییرات زیادی ندارد و شعاع تأثیر بین  $600$  تا  $1500$  متر متغیر است یعنی بصورت بیضی با قطر کوچک  $1200$  و قطر بزرگ  $3000$  متر با جهت یافتگی نشان داده شده در شکل ۱۰ قابل مشاهده است.

اعتبارسنجی مدل برآورده شده بر واریوگرام انتخابی در اعتبار سنجی واریوگرام‌ها در زمین آمار، مدل واریوگرام‌های خوش منظر بروش منحصر به فردی کنترل می‌شود، بدین ترتیب که هر نقطه معلوم (نمونه) بر اساس  $n-1$  نقطه معلوم دیگر بر مبنای مدل واریوگرام به یکی از روش‌های زمین آماری (گریجینگ) تخمین می‌خورد. بدین ترتیب اختلاف مقادیر معلوم و تخمین زده شده، مجموعه خطاهای را بدست می‌دهد که بر اساس آن امکان سنجش اعتبار مدل بوجود می‌آید. جدول ۳ خلاصه اطلاعات آماری خطاهای تخمین گر کریجینگ معمولی (OK) را نشان می‌دهد:

جدول ۳- اطلاعات آماری خطاهای تخمین گر کریجینگ معمولی (OK)

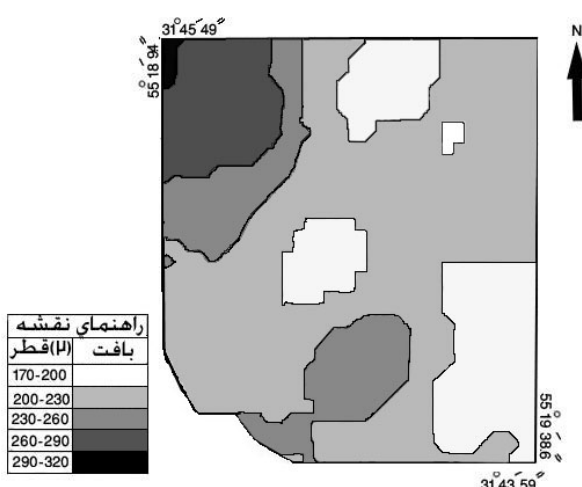
|                                 |          |
|---------------------------------|----------|
| میانگین خطاهای<br>-۰/۸۵۲۴       | ۵۵۸/۵۷۴۹ |
| واریانس خطاهای<br>۲۳/۶۳۴۲       | ۵۴۵/۳۳۷۲ |
| انحراف معیار خطاهای<br>۵۴۶/۸۰۲۰ | ۵۴۶/۸۰۲۰ |
| متوسط مربع خطاهای<br>۰/۸۵۲۴     | ۰/۸۵۲۴   |
| مربع وزنی خطاهای<br>۵۵۸/۵۷۴۹    | ۵۵۸/۵۷۴۹ |

جدول ۳- اطلاعات آماری خطاهای تخمین گر کریجینگ معمولی (OK)

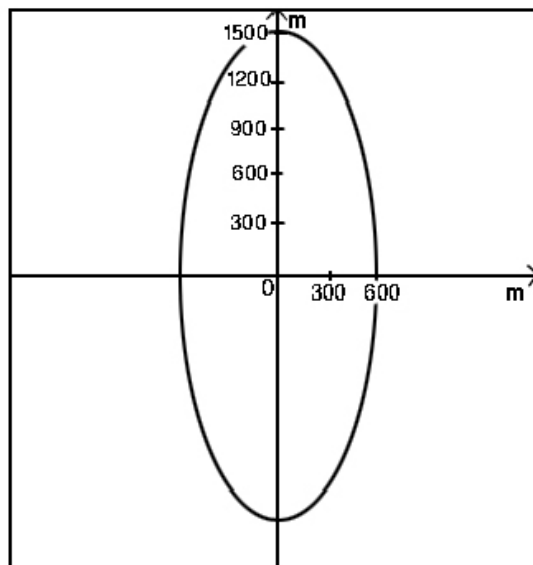
|   |   |
|---|---|
| میانگین خطاهای<br>-۰/۸۵۲۴                                       | ۵۵۸/۵۷۴۹  |
| واریانس خطاهای<br>۲۳/۶۳۴۲                                       | ۵۴۵/۳۳۷۲  |
| انحراف معیار خطاهای<br>۵۴۶/۸۰۲۰                                 | ۵۴۶/۸۰۲۰  |
| متوسط مربع خطاهای<br>۰/۸۵۲۴                                     | ۰/۸۵۲۴  |
| مربع وزنی خطاهای<br>۵۵۸/۵۷۴۹                                    | ۵۵۸/۵۷۴۹  |
| چولگی خطاهای<br>۲/۳۹۳۶  | ۲/۳۹۳۶  |
| کشیدگی خطاهای<br>۴۰   | ۴۰  |
| تعداد نمونه‌ها<br>۵۱۲/۶۷۵۳                                      | ۵۱۲/۶۷۵۳  |
| متوسط واریانس تخمین (کریجینگ)<br>۹۵/۰۰                          | ۹۵/۰۰   |
| درصد خطاهای قرار گرفته بین بعلاوه و منهای دو برابر انحراف معیار | درصد خطاهای قرار گرفته بین بعلاوه و منهای دو برابر انحراف معیار |

نکات کنترلی مدل واریوگرام انتخابی عبارتند از (Yarahmadi. A. 2005)

- میانگین خطاهای باستی به سمت صفر میل کند که در این مورد برابر  $0/8524$  است که با توجه به میانگین متغیر



شکل ۱۰- نقشه پلی گون از قطر میانگین (میکرون)  
در محدوده ارک



شکل ۱۰- بیضی ناهمسانگردی در ارتباط فضایی  
دانه‌بندی منطقه

## بحث و نتیجه‌گیری

### مطالعات مربوط به گلبدادها

از گلبدادهای رسم شده به صورت ماهانه، فصلی و سالانه ایستگاه سینوپتیک به راحتی میتوان غلبه بادهای شمالی تا شمال غربی و جنوبی تا جنوب شرقی را تشخیص داد. همانگونه که از گلبدادهای فصلی مشخص است بادهای با سرعت بیش از ۱۷ نات در بهار و تابستان بیشتر از جهت شمال و شمال غرب و در پاییز و زمستان غالباً از جنوب و جنوب شرق است. با توجه به گلبداد سالیانه جهت غالب بادهای با سرعت بالاتر از ۱۷ نات عمدها از جهات شمال و شمال غرب است. با توجه به نتایج حاصل از پرسشنامه‌ها و اینکه بادهای حامل رسوب بیشتر از سمت شمال می‌وزد می‌توان نتیجه گرفت که جهت بادهای فرساینده قطاع شمالی می‌باشد.

### مطالعات مربوط به مورفولوژی تپه‌ها

از مجموع بررسی‌های انجام شده بر روی تپه‌های ماسه‌ای و خصوصیات آنها نتایج زیر حاصل می‌شود.

- وجود سیف به عنوان واحد اصلی تشکیل تپه‌های ماسه‌ای است در بخش شمال و شمال غرب ارگ بیانگر

به این ترتیب ضریب ناهمسانگردی منطقه عبارتست از:

$$K = \frac{d_{\max}}{d_{\min}} = \frac{3000}{1200} = 2.5 \quad (2)$$

بیضی ناهمسانگردی جهت داری حداکثر و حداقل ارتباط فضایی را نمایش می‌دهد که می‌تواند انطباق خوبی با جهت باد فرساینده و غیر فرساینده داشته باشد

### تخمین دانه‌بندی

یکی از کاربردهای روش زمین آمار در مطالعه حاضر تخمین منظم نقطه‌ای و بلوکی دو بعدی و سه بعدی به روش‌های مختلف کریجینگ است. در این مطالعه منطقه مورد مطالعه به بلوکهای  $50 \times 50$  متر تقسیم شد و تخمین به روش کریجینگ عادی (OK) با دقت قابل قبولی صورت گرفت که در شکل ۱۱ نقشه تهیه شده آمده است.

- همانگونه که در نتایج نیز ذکر شد جهت حمل رسوب در منطقه، قطاع شمالی و جهت بادهای غالب شمال غربی - جنوب شرقی است. لذا با توجه به منحنی ناهمسانگردی (شکل ۱۰) و واریو گرام آزمیوت صفر درجه (شکل ۹-الف) حمل عمومی رسوبات در ارگ علی‌رغم بادهای چند جهتی از شمال به جنوب می‌باشد.

در مطالعات صورت گرفته فرض بر ۲ بعدی بودن توزیع دانه‌بندی رسوبات بود در صورتی که در بعضی از نقاط ارتفاع ارگ ارتفاع تپه‌ها زیاد می‌باشد و می‌تواند در تخمین‌های عمقی خطا‌های زیادی را ایجاد نماید. لذا پیش‌سروت گردد با انجام نمونه‌برداری عمقی مطالعات ۳ بعدی صورت گرفته و تاثیر ارتفاع در توزیع دانه‌بندی بررسی گردد.

- بر اساس مطالعه ناهمسانگردی در وابستگی فضایی دانه‌بندی در ارگ، در استراتژی نمونه‌برداری‌های آتی از ارگ می‌باشد بیضی ناهمسانگردی و ضریب مربوطه مورد توجه قرار گیرد و شبکه نمونه‌برداری از شکل مربعی به شکل مستطیلی تغییر یابد بطوریکه ضلع شمالی - جنوبی آن نسبت به شرقی - غربی  $2/5$  برابر باشد چرا که در جهتی که وابستگی فضایی بیشتری داریم نیاز به نمونه کمتری می‌باشد.

فعال‌تر بودن ترسیب در بخش‌های شمال و شمال غرب ارگ می‌باشد.

- وجود تپه‌های عرضی در جهت شرقی - غربی و شمال شرقی - جنوب غربی حاکی وزش بادهای شمالی جنوبی تا شمال غربی جنوب شرقی و بالعکس می‌باشد.

- وجود تپه‌های ستاره‌ای در ارگ بیانگر وجود بادهای فعال در جهت شرق علاوه بر بادهای شمالی و جنوبی است.

### مطالعات مربوط به گرانولومتری

نقشه خطوط همتراز رسم شده، انتشار قطر ذرات را بر اساس جهت باد نشان میدهد و راستای عمومی تغییر قطر ذرات همان راستای شمال غرب - جنوب شرق است. این نتیجه از مطالعه نقشه پلی گون رسم شده از قطر رسوبات نیز بدست می‌آید.

در مطالعات زمین آمار که بر روی میانگین قطر رسوبات صورت گرفت نتایج حائز اهمیتی به دست داد که ذیلاً به آنها اشاره می‌شود:

- وجود واریوگرام ۲ بعدی تجربی خوش منظر دانه‌بندی ارگ و قابل برآذش با مدل کروی، وجود وابستگی فضایی نقاط نمونه‌برداری شده را ثابت و صدق فرضیه پایایی درجه در ارگ را می‌رساند.

- از واریوگرام‌های رسم شده در جهات مختلف (صفر تا صد و هشتاد درجه) تنها واریو گرام‌های صفر و صد و هشتاد درجه (جهات شمال و جنوب) خوش منظر بوده و تطابق خوبی با مدل کروی دارد و لذا وابستگی فضایی در این راستا بیشترین است. لذا انطباق خوب جهت داری این واریوگرام‌ها با راستای بادهای فرساینده امکان شناسایی جهت داری بادهای فرساینده با روش زمین آمار را نشان می‌دهد.

- پلی گون رسم شده از تخمین دانه‌بندی به خوبی توزیع منظم رسوبات را از شمال غرب به جنوب شرق نشان میدهد به نحوی که ذرات درشت‌تر در سمت شمال غرب و ذرات ریز‌تر در جهت جنوب شرق واقع شده‌اند و این راستا انطباق کاملی با جهت بادهای غالب در منطقه دارد.

## منابع

- Ahmadi, H. ekhtesasi, M.R. 1998. investigation on effect of grovel mulch on wind erosion reduction in uncontrollable biological plain. research plan reports. Research center of desert areas. (not published)
- Ahmadi, H. 1999. Applied geomorphology (second volume) desert- wind erosion. Tehran university press.
- Ahmadi, H. Heiznia, S. ekhtesasi, M.R. ghanei, M.J. 2001. Investigation on sand dune resource in southern Bafgh. desert journal. Vol. 2
- Ahmadi, H. Ekhtesasi, M.R. Feiznia, S. Ghanei, M.J. 2002. Investigation on control methods of wind erosion in southern Bafgh. Natural resource journal, Vol.55, no.3.
- Azimzadeh, H. Ekhtesasi, M.R. Jahangard, M. Refahi, H., 2005, Application of Geostatistics in estimating of desert pavement percentage and threshold velocity, first international conference on wind erosion, iran. Yazd.
- Chien, Y.J. Guo, D.Y. & Houng, K.H. 1997. Geostatistical analysis of soil properties of mid-west Taiwan soils. Soil sci. 162:291- 298
- Ekhtesasi, M.R, et al. 1996. Investigation on sand dunes resources in Yazd-ardekan plain. Research Institute of Forest and Rangelands. P. 145
- Hasani-e-pak, A.A. 2001, Geostatistics, Tehran University press, Tehran
- Jager, N. 1990. Hydrogeology and Groundwater simulation. Lewis Publishers
- Kresic, N. 1997. Hydrogeology and Groundwater Modeling. Lewis Publisher
- Refahi, H. 1999. Wind erosion and its control. Tehran University, Tehran
- Feiznia, S. 1991. Applied sedimentology. Lecture notes natural resource faculty of Tehran university
- Mohammad Asgari, H. 2007. An investigation of soil properties variability using Geostatistics and Remote Sensing. University of Tehran Faculty of Natural Resources. M.Sc thesis
- Motamed, A. 1988. Investigation on scatter of sands in northern of Kashan. Rsssearch newspaper of Tehran University. Bulletin of research. Tehran university press.
- Motamed, A. 1996. Investigation on resources of sands in of Bam and combating of sand rushing in the areas. Journal of desert. No. 1,2,3,4. Tehran university press.
- Musavi, h. R. 1991. sedimentology. Second edition, Astan Ghods Razavi, mashad
- Saldana, A., A. Stein and J.A Zinck. 1998. Spatial variability of soil properties at different scales within three terraces of the Henares River (Spain). Catena. 33(3-4):139-153
- Sousa, V., L.S. Pereira, M.F.M. Olalla and C. Fabeiro. 1999. Regional analysis of irrigation water requirements using kriging. Application to potato crop (*Salanum tuberosum* L.) at Tras-os-Montes. Agricultural Water Management. 40(2-3):221-233
- Yarahmadi. A. 2005. Lecture notes. mining and metallurgy eng. dep. Yazd University

## **Investigation on Relationship between Granolometric Characteristics of Sand Dune Deposits and Erosive Wind Direction using Geostatistics in Hasan Abad of Bafgh**

**M. J. Ghanei Bafghi<sup>\*1</sup> and A. R. Yarahmadi<sup>2</sup>**

<sup>1</sup> Instructor, Islamic Azad University of Bafgh branch, Bafgh, I.R. Iran

<sup>2</sup> Assistant Prof., Yazd University, Yazd I.R. Iran

(Received: 10 March 2010, Accepted: 20 September 2010)

### **Abstract**

The main purpose of this research is presentation of a geostatistical index for indicating erosive wind direction in Hassan Abad. In this research main direction of prevailing wind was found by employing annual, seasonal and monthly wind rose diagrams while morphology of sand dunes and erosive wind directions are found by questionnaire. The sampling was completed over sand dunes through forty sites over a regular grid (500 by 500 m) and after sieving, cumulative and scattered diagram of sand diameters are drown and mean diameter is calculated. Geostatistical studies were used for identification of spatial correlation (autocorrelation) of granolometric characteristics by variographic studies for identification of granolometric continuity, range effect (radius of spatial correlation of grains) and spatial correlation anisotropy. In this study relevant and validated variogram demonstrated that the second-order stationary hypothesis is satisfied as well as the most spatial correlation is directed in azimuth of zero degree (direction of erosive wind). Geometric anisotropy analysis of region showed that the maximum diameter of anisotropy ellipsoid is parallel to erosive wind direction as well. Finally, mean diameter of sands is estimated in 50×50 meter blocks using ordinary kriging.

**Keywords:** Geostatistics, Wind erosion, Wind direction, Granolometry, Sand dune

---

\*Corresponding author: Tel: +98 352 4220104 , Fax: +98 352 4229053 , E-mail: m.ghanei@bafgh-iau.ac.ir